

aDNA zur Rekonstruktion der Mobilität

Axel Berger

Institut für Ur- und Frühgeschichte Universität zu Köln

Seminar: Theorie und Anwendung ausgewählter anthropologischer Methoden Wintersemester 2013/14 PD Dr. Daniel Richter



Grundlagen	Amerika	Neolithikum	Schweine	Lactoseintoleranz	Denisova	
0	000000	00000000000	00000	00	000000	
Gliederun	g					

Grundlagen

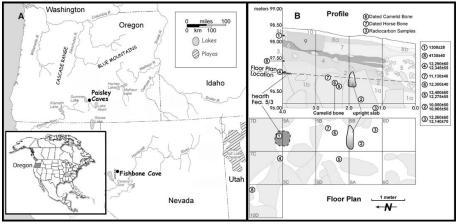
- **2** Besiedlung Amerikas
- **3** Europäisches Neolithikum
- **4** Schweine und Rinder
- **G** Wegfall der Lactoseintoleranz
- **6** Der Femur aus der Sima de los Huesos



- mtDNA und das Y-Chromosom sind unvermischt. Man benötigt große, also in der Praxis rezente, Stichproben, um kleine Bevölkerungsanteile erfassen zu können.
- Kern-DNA enthält potentiell Anteile aller Vorfahren, allerdings ist nur ein Teil der Bruchstücke diagnostisch auswertbar.
- Nur aDNA erlaubt den Zugriff auf ausgestorbene oder untergegangene Spezies, Völker oder Familien.
- aDNA-Daten sind nicht von späteren Ereignissen überprägt und erlauben z. B., den Grad der Verwandtschaft und die Größe der Heiratsnetzwerke der letzten Vorgängergenerationen abzuschätzen.

Grui	ndlagen	Amerika	Neolithikum	Schweine	Lactoseintoleranz	Denisova	1
0		00000	00000000000	00000	00	000000	í,

Die Koprolithen in den Paisley-Höhlen



Die Lage der Paisley-Höhlen in Oregon [Gi08].

G	r	u	n	d	а	e	n		
0									

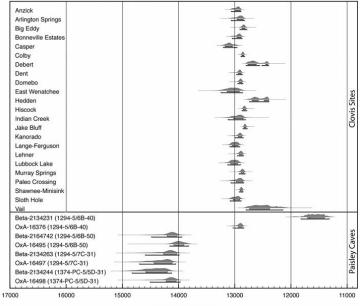
Neolithiku 0000000 Schweine 00000 Lactoseintoleranz

Denisova 000000



Datierung und mtDNA

Amerika



Calibrated Date (cal BP)

G	irundlagen	Amer 0000			Schweine 00000	Lactoseint	oleranz		Denisov 00000		Ν
C	Datierung	und	mtDNA							4	
			nzick rlington Springs ig Eddy onneville Estates asper olby ebert ient iomebo ast Wenatchee terden							ites	
	Sample	Hg	mtDN.		AMS dates (¹⁴ C yea	conventional ars BP)	Cave	Fig. 1B no.#	CIE**	TP††	
			165	Site of replication	Beta Analytic	Oxford Univ.		no.#			
	1294-PC-5/7D-4	B2*	C. latrans	Uppsala	Not tested	1,308 ± 28	5	1	-	n/a	
	1374-PC-1/2A-28	B2†		Uppsala	$6,640 \pm 40$	6,608 ± 35	1		-	n/a	
	1294-PC-5/6B-40	B2†	C. lupus/ familiaris¶	Uppsala	10,050 ± 50	10,965 ± 50	5	2	Human	n/a	
	1294-PC-5/6B-50	A2±	V. vulpes	Uppsala	$12,260 \pm 60$	12,140 ± 70	5	3	Human	Human	
	1294-PC-5/7C-31	B§,§§		Uppsala/Leipzig	12,290 ± 60	12,345 ± 55	5	4	Human	Human	
	1374-PC-5/5D-31	B2†		Uppsala	12,400 ± 60	12,275 ± 55	5	5	-	Human	
			eta-2134231 (1294-5/6B-40) bxA-16376 (1294-5/6B-40) eta-2164742 (1294-5/6B-40) bxA-16495 (1294-5/6B-50) eta-2134263 (1294-5/7C-31) xA-16497 (1294-5/7C-31) eta-2134244 (1374-PC-5/5D xA-16498 (1374-PC-5/5D-3) 						- Paisley Caves	
ı.		17000	16000	15000	14000	13000		12000	110		
174	R				Calibrated Date (ca	(BP)				GiO)8

FB

Calibrated Date (cal BP)

Gi08

Grundlagen	Amerika	Neolithikum	Schweine	Lactoseintoleranz	Denisova
0	00000	0000000000	00000	00	000000
_					



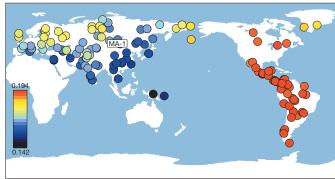
Zusammensetzung der Koprolithen



Das Conom	won Mal'	ta				4	
0	000000	0000000000	00000	00	000000		
Grundlagen	Amerika	Neolithikum	Schweine	Lactoseintoleranz	Denisova		Ĵ

Dreiecke: Haplogrppe U Quadrat: Haplogruppe B Kreise: Venusfigurinen [Ra14].

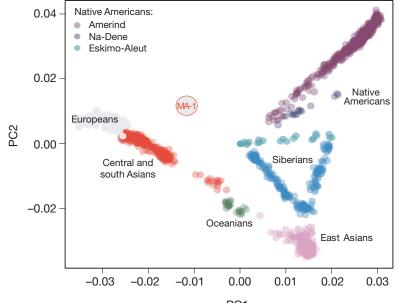




Outgroup f3statistic der Verwandtschaft zu Mal'ta mit Yoruba als Außengruppe [Ra14].

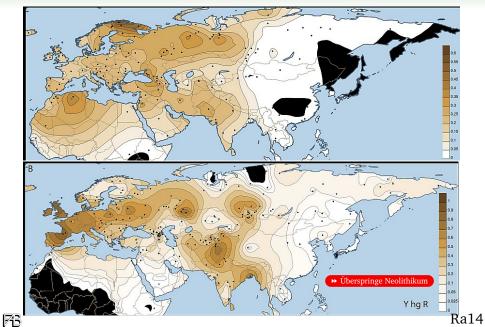
Grundlagen	Amerika	Neolithikum	Schweine	Lactoseintoleranz	Denisova
0	000000	00000000000	00000	00	000000

Hauptkomponenten der Gene heutiger Populationen



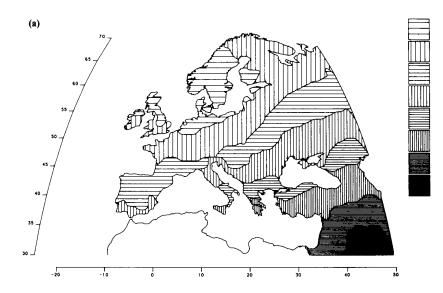


Heutige Verteilung der Mt.- und Y-Haplogruppen von Mal'ta



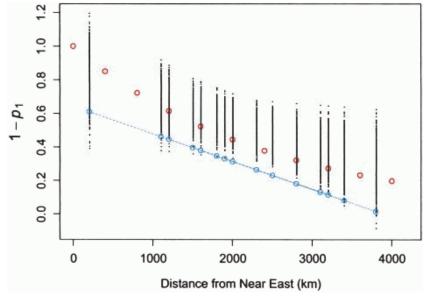
Grundlagen	Amerika	Neolithikum	Schweine	Lactoseintoleranz	Denisova	
0		●0000000000			000000	
						A

Hauptkomponentenanalyse des heutigen europäischen Genpools



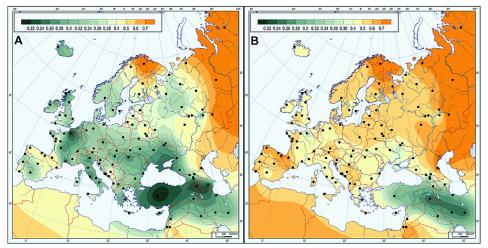


Nicht-paläolithischer Anteil im heutigen Y-Genpool





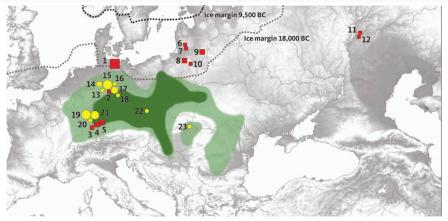
Heutige Verteilung neolithischer mtDNA-Haplogruppen



Genetischer Abstand zwischen 55 heutigen Bevölkerungen und (links) allen 42 neolithischen Proben bzw. (rechts) den 21 vom Gräberfeld Derenburg, Sachsen-Anhalt [Ha10].

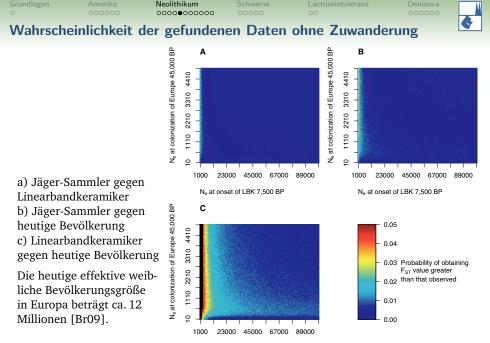


Das Fehlen der Haplogruppe U im frühen Neolithikum



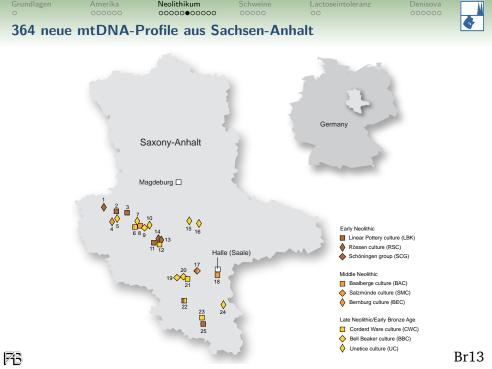
1, Ostorf; 2, Bad Dürrenberg; 3, Falkensteiner Höhle; 4, Hohler Fels; 5, Hohlenstein-Stadel; 6, Donkalnis; 7, Spiginas; 8, Dudka; 9, Kretuonas; 10, Drestwo; 11, Chekalino; 12, Lebyazhinka;

13, Unseburg; 14, Unterwiederstedt; 15, Derenburg/Meerenstieg; 16, Eilsleben; 17, Halberstadt; 18, Seehausen; 19, Flomborn; 20, Vaihingen an der Enz; 21, Schwetzingen; 22, Asparn/Schletz; 23, Ecsegfalva. [Br09].



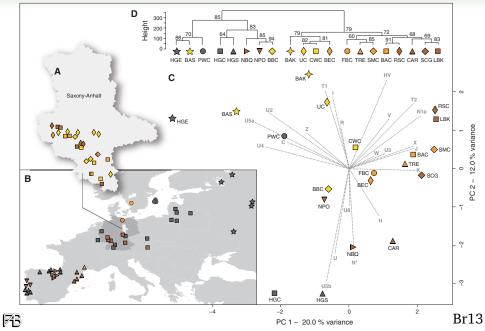
Ne at onset of LBK 7,500 BP





Grundlagen	Amerika	Neolithikum	Schweine	Lactoseintoleranz	Denisova
0	000000	00000000000	00000	00	000000

Die neuen Daten in der Übersicht





Nec 00

Neolithikum

Schweine 00000 Lactoseintoleranz

Denisova 000000

U5b

HGC LBK RSC SOG BAC SMC BEC CWC BBC UC CEM

LBK RSC SCG BAC SMC BEC CWC BBC UC CEM

Τ1

HGC LBK RSC SCG BAC SMC BEC CWC BBC UC CEM

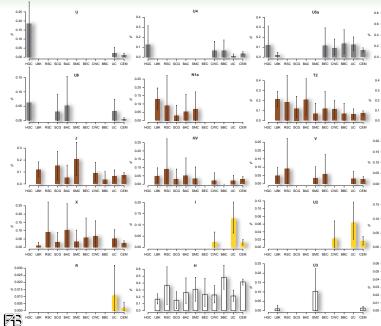
В

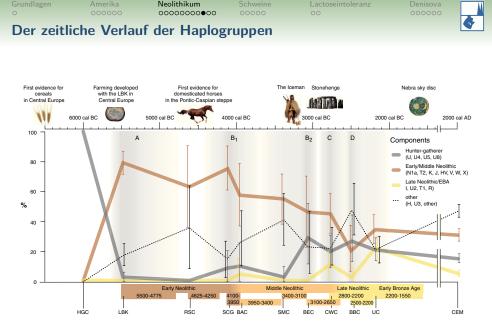
HGC LBK RSC SCG BAC SMC BEC CI

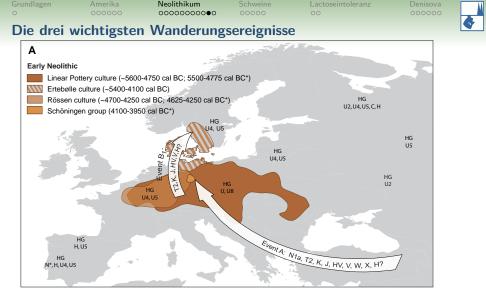
нас

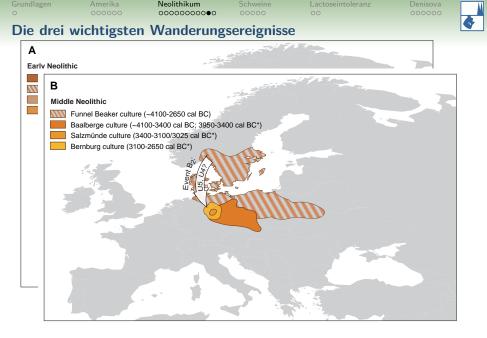


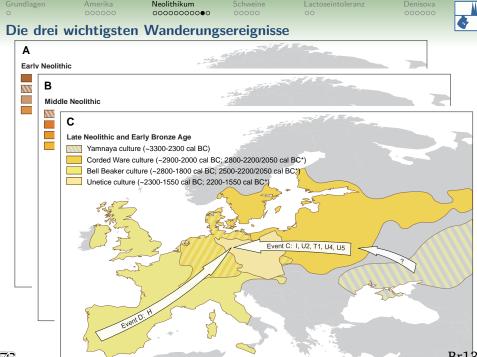
Die Gesamtdaten im Überblick





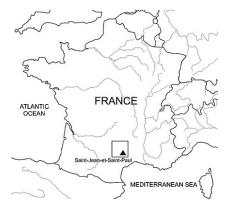






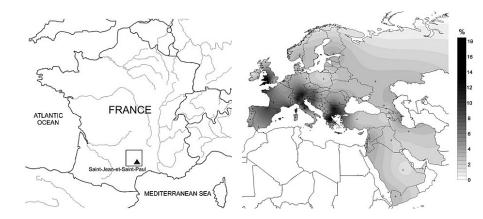
		.				
0	000000	0000000000	00000	00	000000	
Grundlagen	Amerika	Neolithikum	Schweine	Lactoseintoleranz	Denisova	

Männerdominanz auf der Küstenroute



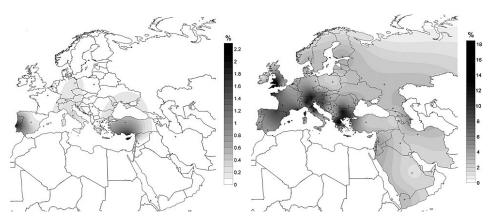
0	000000	0000000000	00000	00	000000	
Grundlagen	Amerika	Neolithikum	Schweine	Lactoseintoleranz	Denisova	M

Männerdominanz auf der Küstenroute



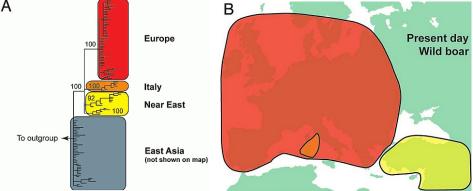
Grundlagen	Amerika	Neolithikum	Schweine	Lactoseintoleranz	Denisova	M
0	000000	0000000000	00000	00	000000	

Männerdominanz auf der Küstenroute



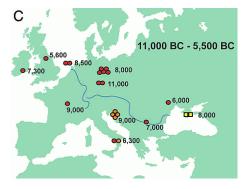






	a la facilita de la Cale	all and the second second	LL	A 1	Calauratio	
0	000000	0000000000	0000	00	000000	
Grundlagen	Amerika	Neolithikum	Schweine	Lactoseintoleranz	Denisova	1

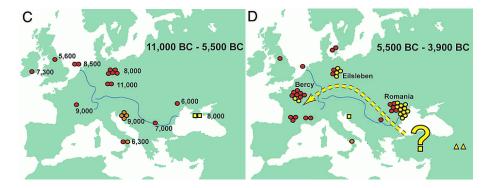
Die geographische Herkunft mit alter mtDNA bestimmter Schweine





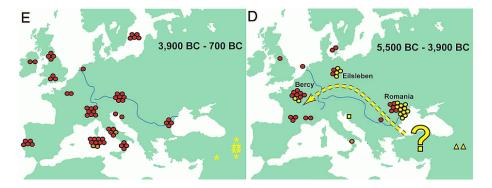






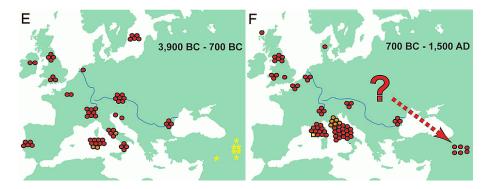
	orranhischo I	Horkunft mit	alter mt[NA bostimmt	or Schwoin	S	
0	000000	00000000000	0000	00	000000		
Grundlagen	Amerika	Neolithikum	Schweine	Lactoseintoleranz	Denisova		

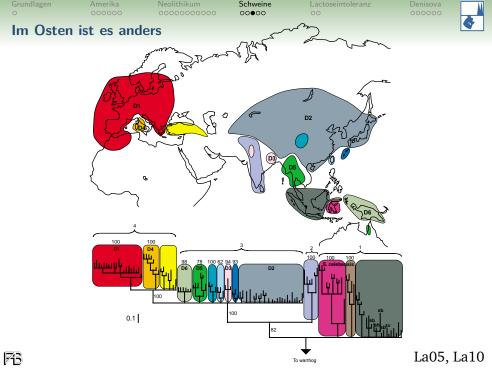


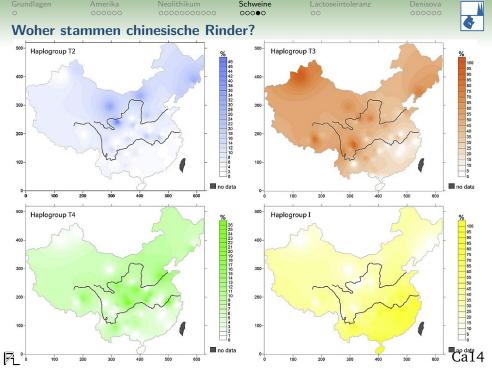


	orranhischo I	Horkunft mit	alter mt[NA bostimmt	or Schwoin	S	
0	000000	00000000000	0000	00	000000		
Grundlagen	Amerika	Neolithikum	Schweine	Lactoseintoleranz	Denisova		



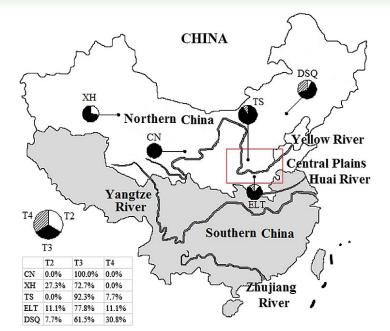








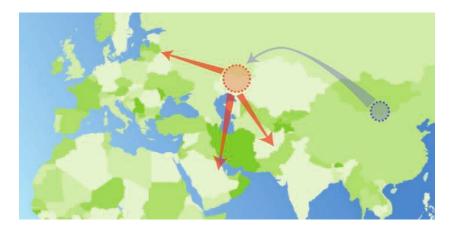
Haplotypen der 53 gemessenen Proben an mtDNA



FB

Grund	lagen	Amerika	Neolithik	um		Schweine	Lactoseintoleranz	Denisova
0		000000	000000)	00000	•0	000000

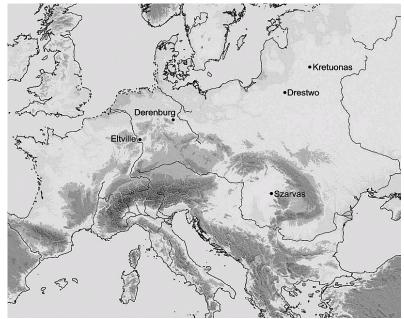
Herkunft der europäischen Variante der Lactasepersistenz





Gräberfelder der 10 beprobten Individuen

FB



Bu07

Grundlagen	Amerika	Neolithikum	Schweine	Lactoseintoleranz	Denisova	
0	000000	00000000000	00000	0.	000000	

Gräberfelder der 10 beprobten Individuen



			MCM6 g	enotype	CRS mtDNA 16209–16303 variable positions	
Sample	Culture	Archaeological or radiocarbon dating	Intron 13	Intron 9	(-16,000)	
ELT 2	Merovingian	A.D. 400-600	Y	А	C294T	
DEB 1	Neolithic Linear Pottery	5500-5000 B.C.	С	G	C223T, C248T	
DEB 3	Neolithic Linear Pottery	5500-5000 B.C.	С	G	C223T, C248T	
DEB 4	Neolithic Linear Pottery	5500-5000 B.C.	С	G	CRS	
SZA23.1	Neolithic Körös	5840–5630 B.C. (OxA-9375) human rib, grave 1	С	G	C223T, C257A, C261T	
SZA23.2	Neolithic Körös	5840–5630 B.C. (OxA-9375) human rib, grave 1	С	G	C223T	
SZA23.3	Neolithic Körös	5840–5630 B.C. (OxA-9375) human rib, grave 1	С	G	CRS	
KRE 1	Middle Neolithic Narva	5350 ± 130 B.C. (OxA-5935)	С	G	C270T	
KRE 2	Middle Neolithic Narva	5580 ± 65 B.C. (OxA-5926)	С	G	C270T	
DR 2	Mesolithic Zedmar	2267 ± 116 cal. B.C.	С	G	C256T, C270T	

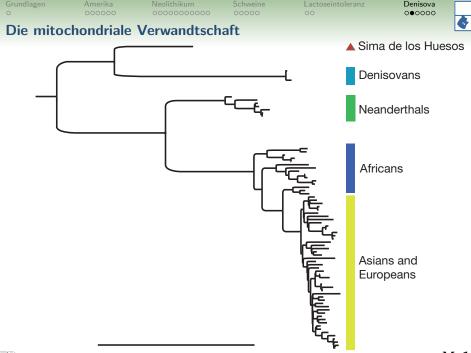
Bu07



0 2



Denisova



Grundlagen	Amerika	Neolithikum	Schweine	Lactoseintoleranz	Denisova	
0	000000	0000000000	00000	00	000000	
Hausarbe	it und Lite	eratur				

Vielen Dank

Das Handout und Literatur liegen auf: www.axel.berger-odenthal.de/work/Referat/



Grundlagen	Amerika	Neolithikum	Schweine	Lactoseintoleranz	Denisova		
0	000000	0000000000	00000	00	000000		
Literatur						•	

Ba13 Michael Balter, Farming's Tangled European Roots. science 342 (2013), 181–182.

Br09 B. Bramanti et al.,

Genetic Discontinuity Between Local Hunter-Gatherers and Central Europe's First Farmers. science 326 (2009), 137–140.

Br13 Guido Brandt et al.,

Ancient DNA Reveals Key Stages in the Formation of Central European Mitochondrial Genetic Diversity. science 342 (2013), 257–261.

Bu07 J. Burger, M. Kirchner, B. Bramanti, W. Haak & M. G. Thomas,

Absence of the lactase-persistence-associated allele in early Neolithic Europeans. PNAS 104 (2007), 3736–3741.

Ca14 Dawei Cai, Yang Sun, Zhuowei Tang, Songmei Hu, Wenying Li, Xingbo Zhao, Hai Xiang & Hui Zhou, The origins of Chinese domestic cattle as revealed by ancient DNA analysis. Journal of Archaeological Science 41 (2014), 423–434.

Ca96 L. Luca Cavalli-Sforza,

The spread of agriculture and nomadic pastoralism: insights from genetics, linguistics and archaeology. In: David R. Harris (Hrsg.), The Origins and Spread of Agriculture and Pastoralism in Eurasia. (Washington 1996), 51–69.

Ch02 Lounès Chikhi, Richard A. Nichols, Guido Barbujani & Mark A. Beaumont, Y genetic data support the Neolithic demic diffusion model. PNAS 99 (2002), 11008–11013.

Gi08 M. Thomas P. Gilbert et al., DNA from Pre-Clovis Human Coprolites in Oregon, North America. science 320 (2008), 786–789.

G	r	u	n	d	а	e	n		
0									

Neo 000

Neolithikum 000000000000 Schweine

Lactoseintoleranz

Denisova



Literatur (cont.)

Ha10 Wolfgang Haak et al.,

Ancient DNA from European Early Neolithic Farmers Reveals Their Near Eastern Affinities. PLoS Biology 8 (2010), xi, e1000536.

Je12 Dennis L. Jenkins et al.,

Clovis Age Western Stemmed Projectile Points and Human Coprolites at the Paisley Caves. science 337 (2012), 223–228.

Ka04 Jocelyn Kaiser,

Ural Farmers Got Milk Gene First? science 306 (2004), 1284–1285.

Ki11 Karola Kirsanow & Joachim Burger,

Ancient human DNA.

Annals of Anatomy **194** (2011), 121–132. DOI:10.1016/j.aanat.2011.11.002.

La05 Greger Larson et al.,

Worldwide Phylogeography of Wild Boar Reveals Multiple Centers of Pig Domestication. science 307 (2005), 1618–1621.

La07 Greger Larson et al.,

Ancient DNA, pig domestication, and the spread of the Neolithic into Europe. PNAS 104 (2007), 15276–15281.

La10 Greger Larson et al.,

Patterns of East Asian pig domestication, migration, and turnover revealed by modern and ancient DNA. PNAS 107 (2010), 7686–7691.

La11a Marie Lacan et al.,

Ancient DNA reveals male diffusion through the Neolithic Mediterranean route. PNAS 108 (2011), 9788–9791.

La11b Marie Lacan et al.,

Ancient DNA suggests the leading role played by men in the Neolithic dissemination. PNAS 108 (2011), 18255–18259.

Grundlagen	Amerika	Neolithikum	Schweine	Lactoseintoleranz	Denisova	
0	000000	0000000000	00000	00	000000	
Literatur	(cont.)					•

Me14 Matthias Meyer et al.,

A mitochondrial genome sequence of a hominin from Sima de los Huesos. nature 505 (2014), 403–406.

Pi12 Ron Pinhasi, Mark G. Thomas, Michael Hofreiter, Mathias Currat & Joachim Burger, The genetic history of Europeans. Trends in Genetics 28 (2012), 496–505.

Ra11 Morten Rasmussen et al.,

An Aboriginal Australian Genome Reveals Separate Human Dispersals into Asia. science 334 (2011), 94–98.

Ra14 Maanasa Raghavan et al., Upper Palaeolithic Siberian genome reveals dual ancestry of Native Americans. nature 505 (2014), 87–91.

Si14 A. Sistiaga, F. Berna, R. Laursen & P. Goldberg,

Steroidal biomarker analysis of a 14,000 years old putative human coprolite from Paisley Cave, Oregon. Journal of Archaeological Science 41 (2014), 813–817.

Sm09 Silvia E. Smith, M. Geoffrey Hayes, Graciela S. Cabana, Chad Huff, Joan Brenner Coltrain & Dennis H. O'Rourke,

Inferring Population Continuity Versus Replacement with aDNA, A Cautionary Tale from the Aleutian Islands. Human Biology 81 (2009), 407–426.